
Anlagen 1 - 4 zu:

Baustoffe für standfeste Bankette

von

Andromachi Koukoulidou

Emanuel Birle

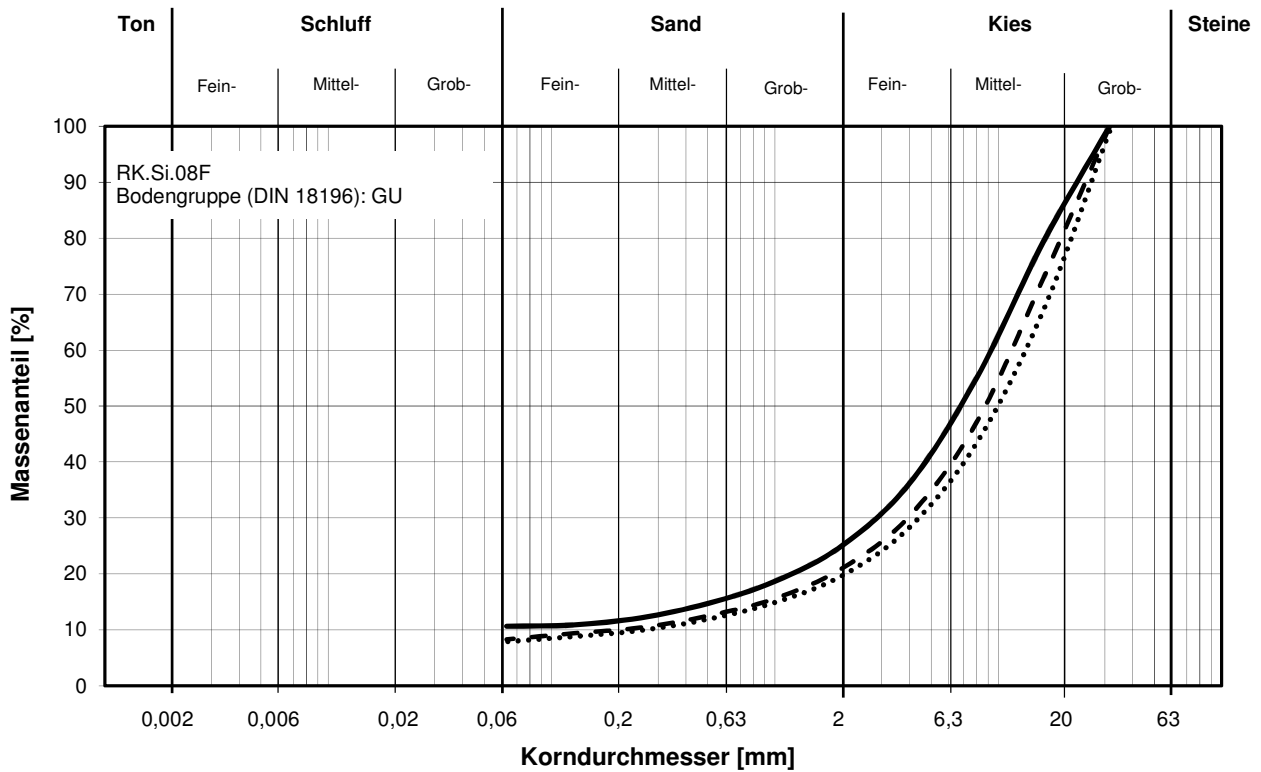
Dirk Heyer

Lehrstuhl und Prüfamnt
für Grundbau, Bodenmechanik,
Felsmechanik und Tunnelbau
Technische Universität München

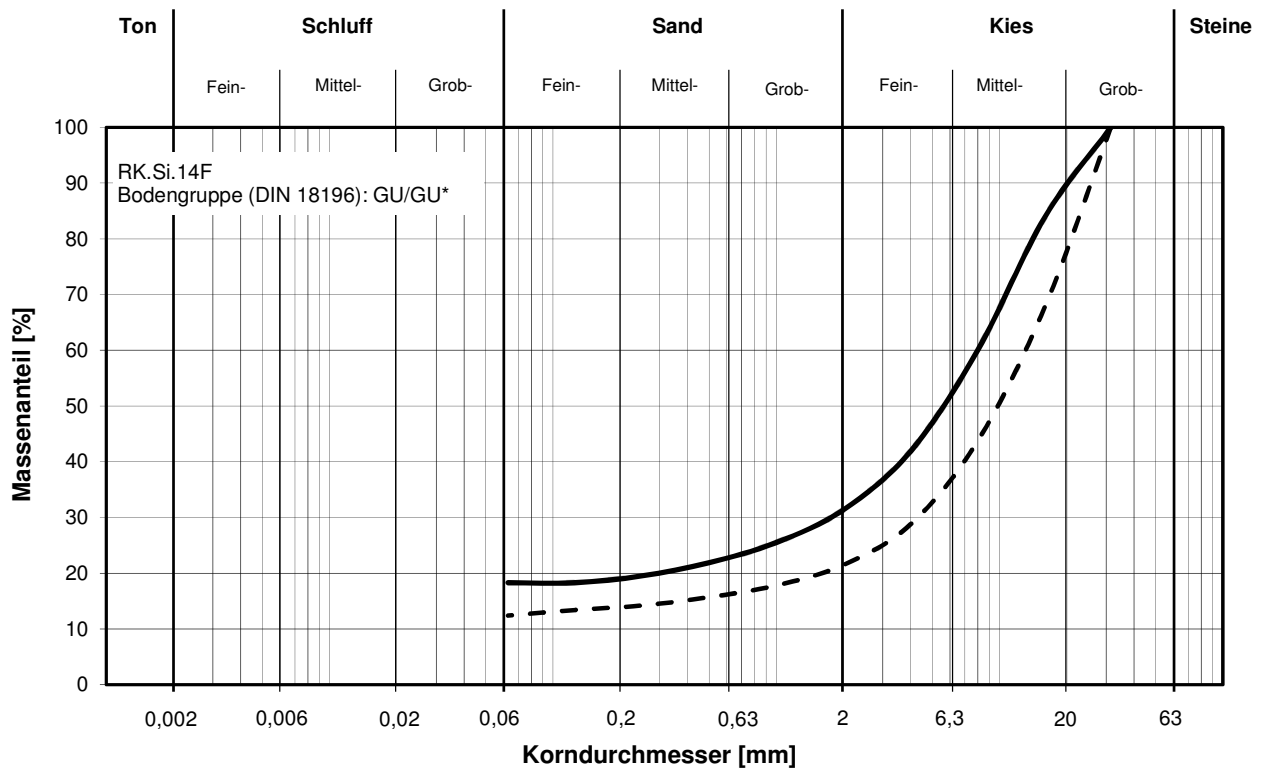
Berichte der Bundesanstalt für Straßenwesen

Straßenbau Heft S 107

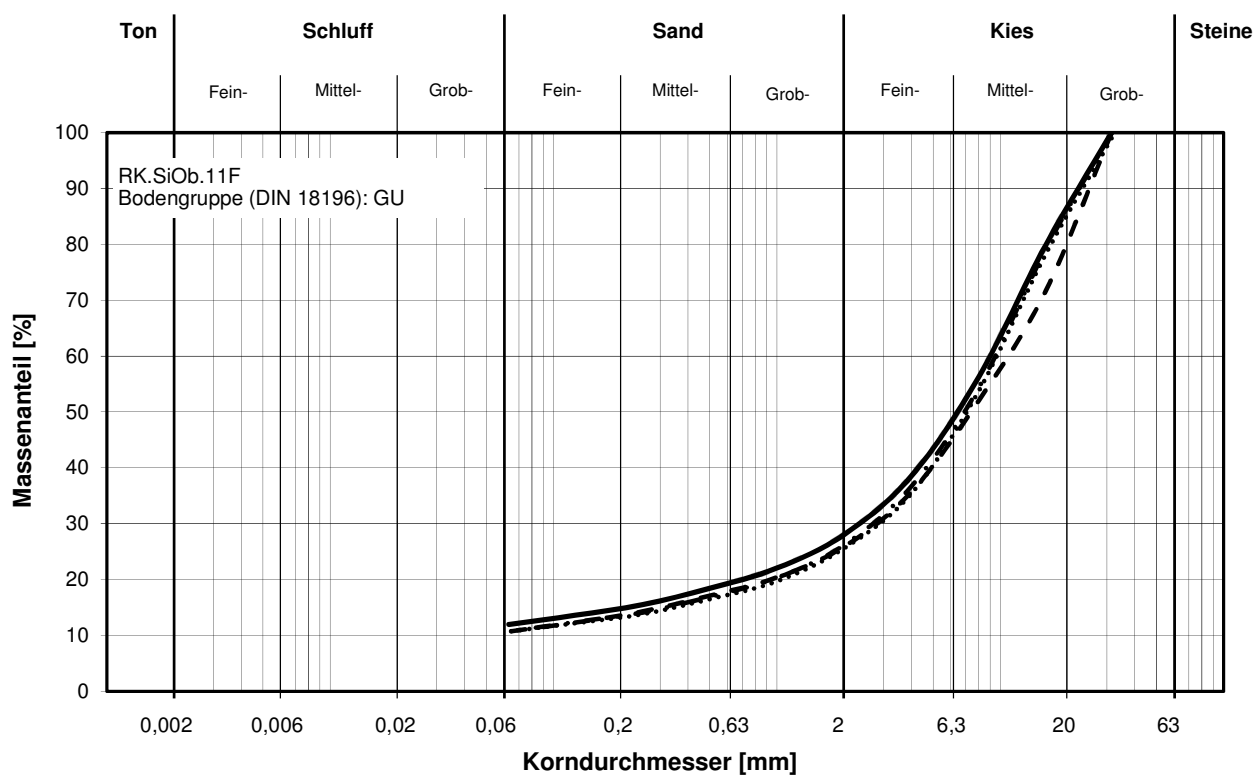
Anlage 1



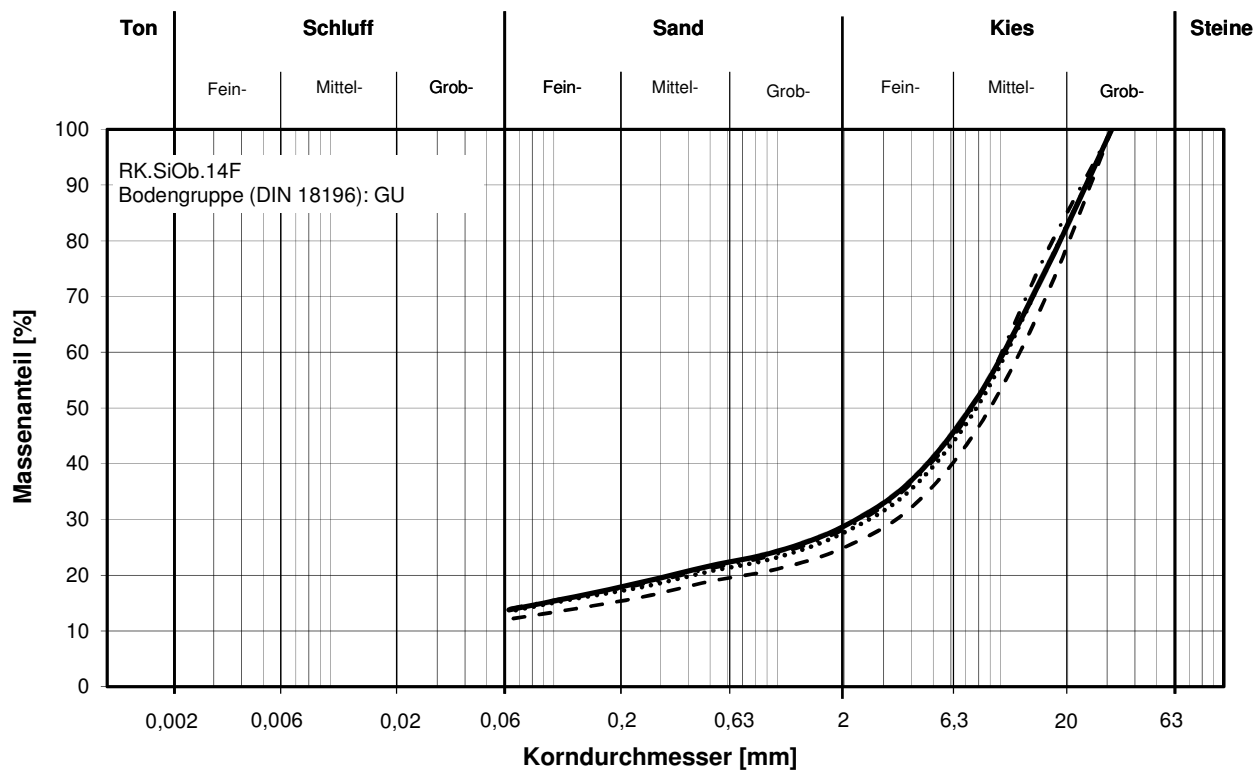
A1- 1: Korngrößenverteilung der Mischung RK.Si.08F



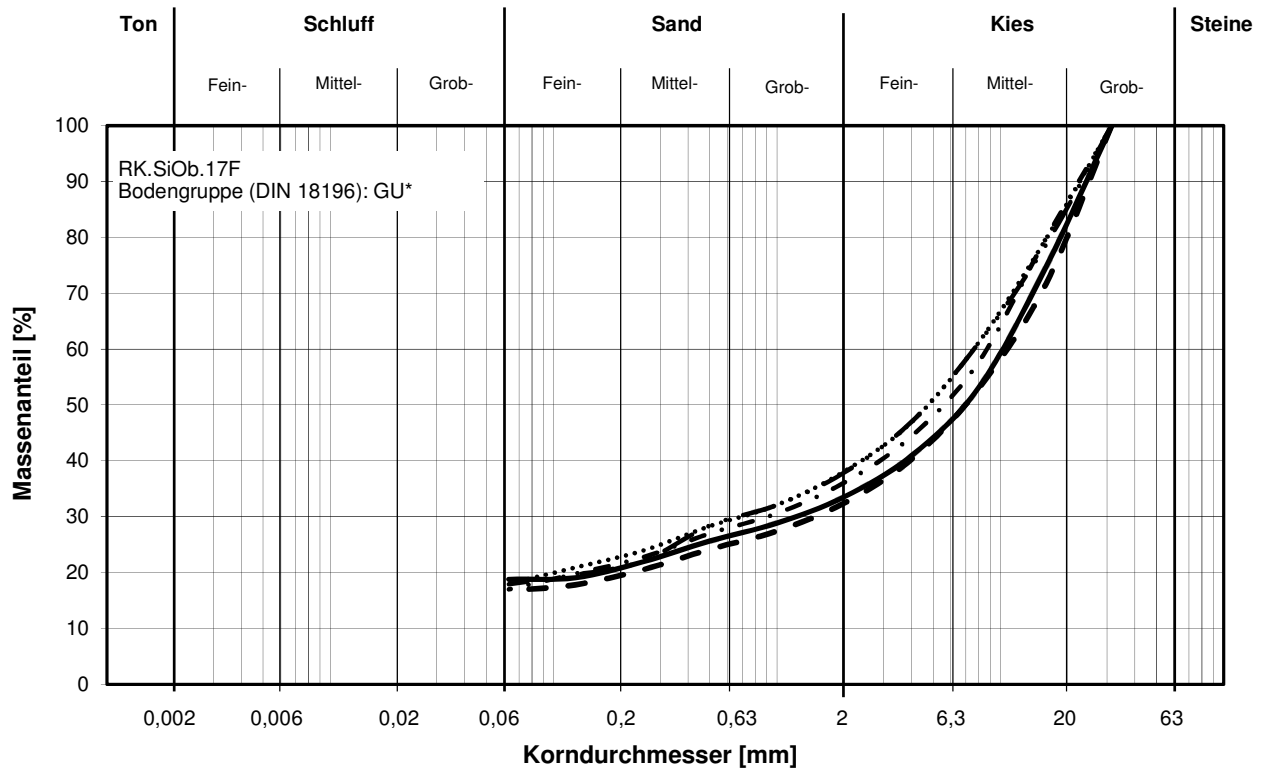
A1- 2: Korngrößenverteilung der Mischung RK.Si.14F



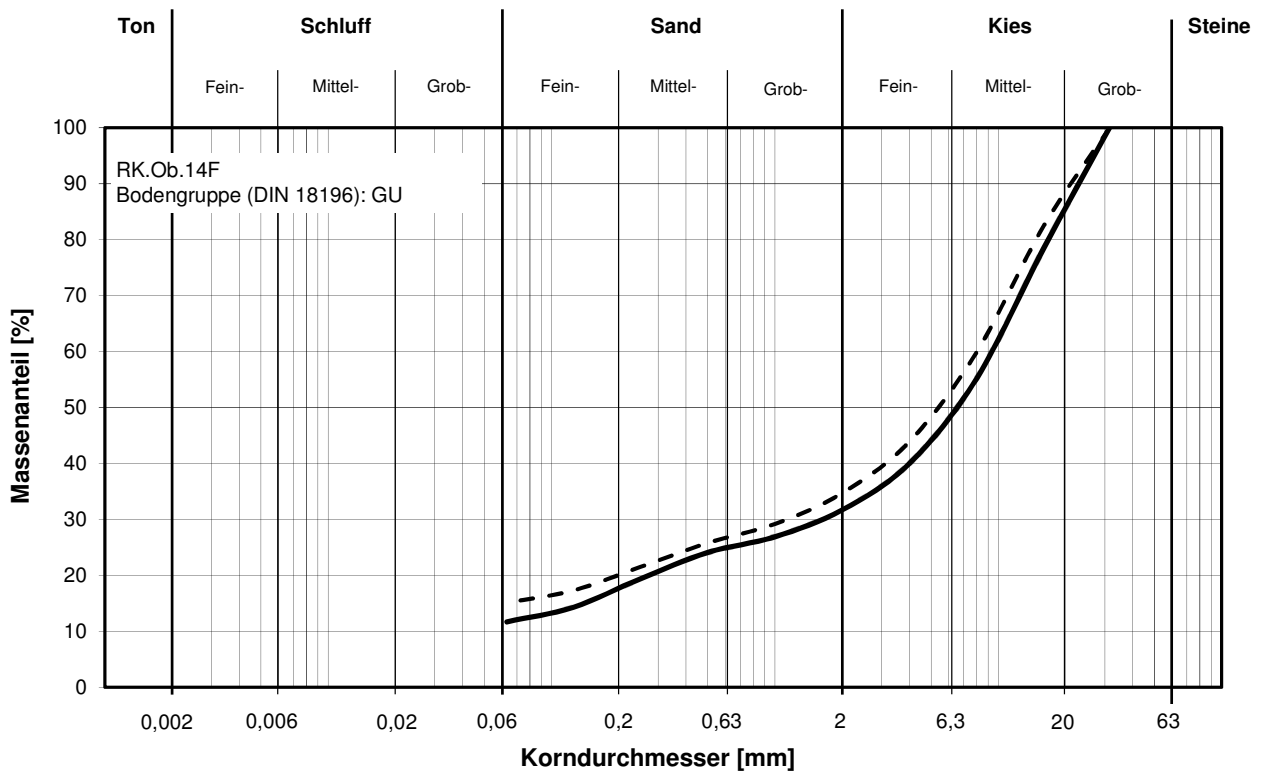
A1- 3: Korngrößenverteilung der Mischung RK.SiOb.11F



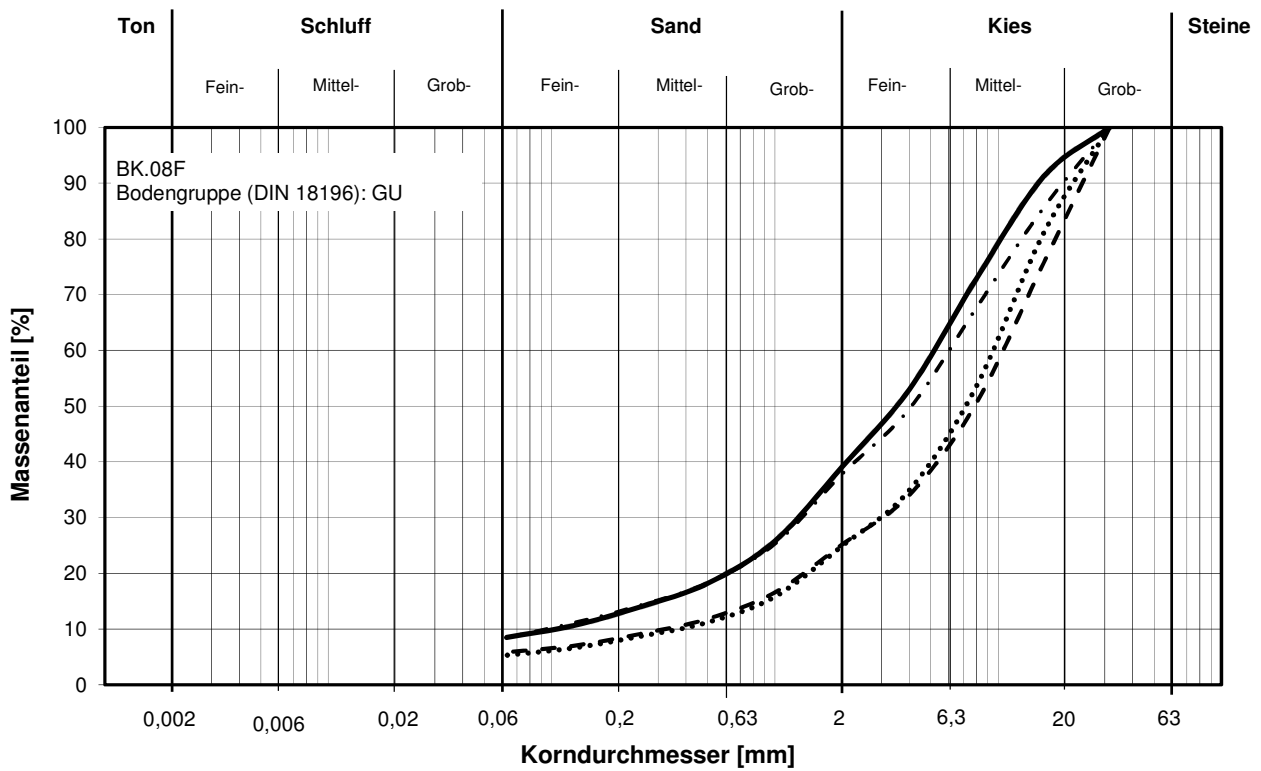
A1- 4: Korngrößenverteilung der Mischung RK.SiOb.14F



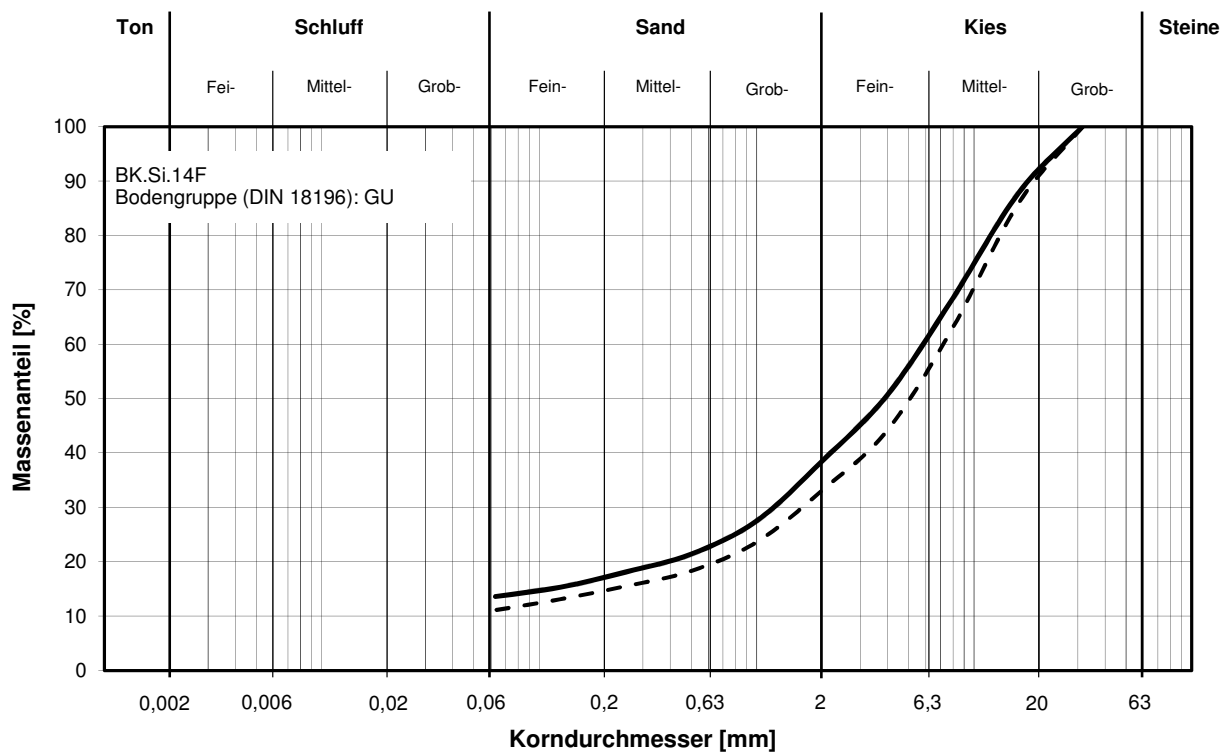
A1- 5: Korngrößenverteilung der Mischung RK.SiOb.17F



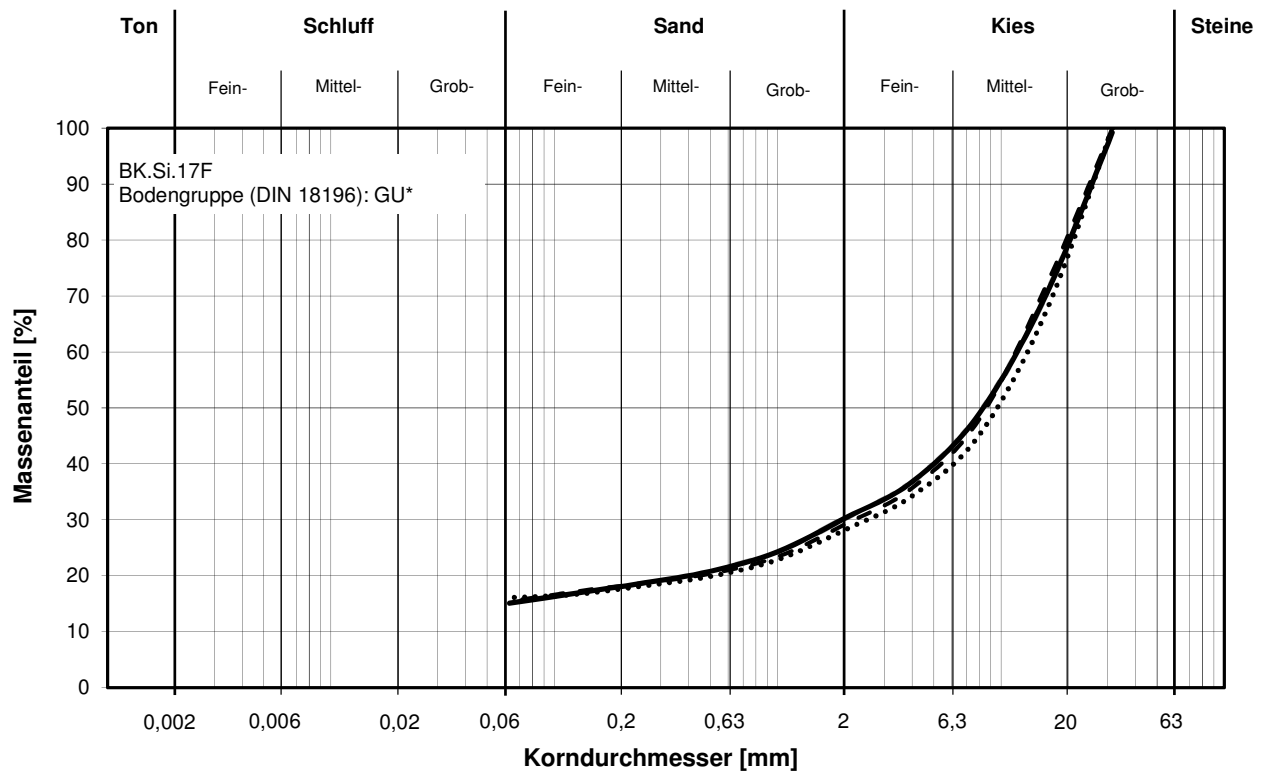
A1- 6: Korngrößenverteilung der Mischung RK.Ob.14F



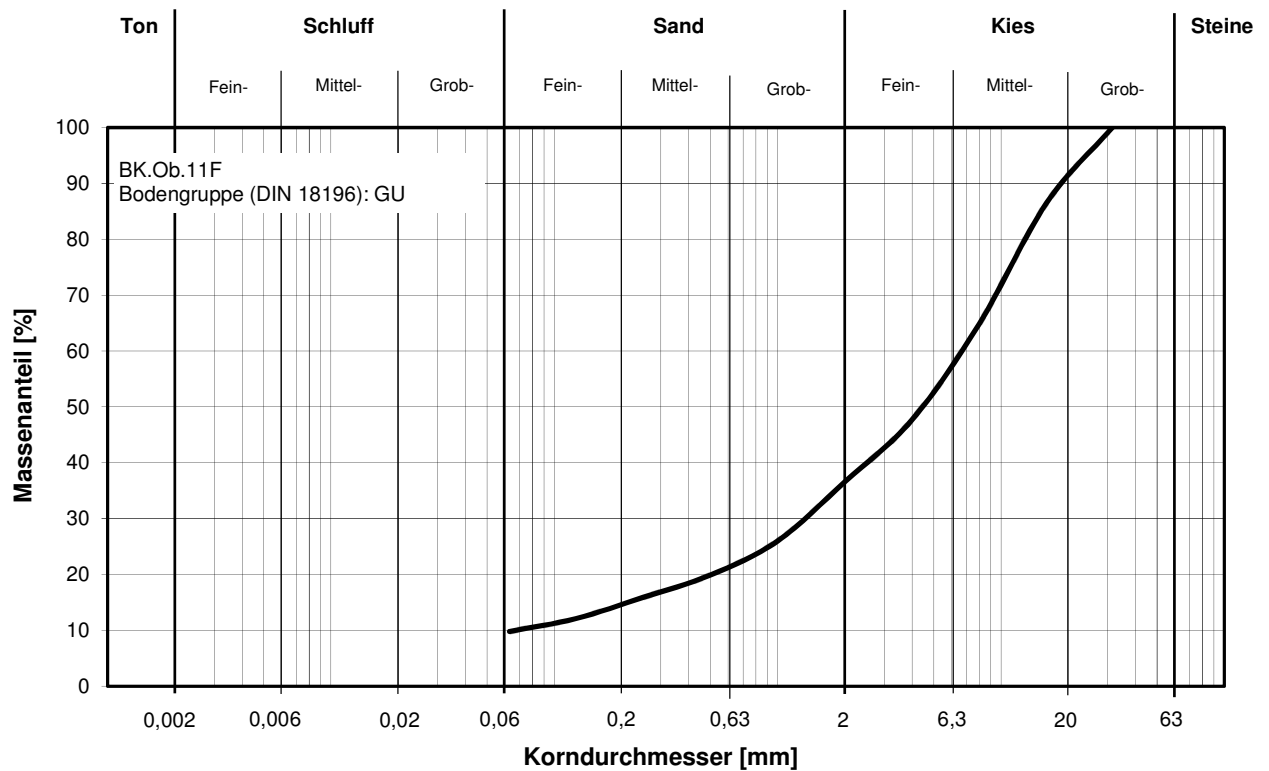
A1- 7: Korngrößenverteilung des Materials BK.08F



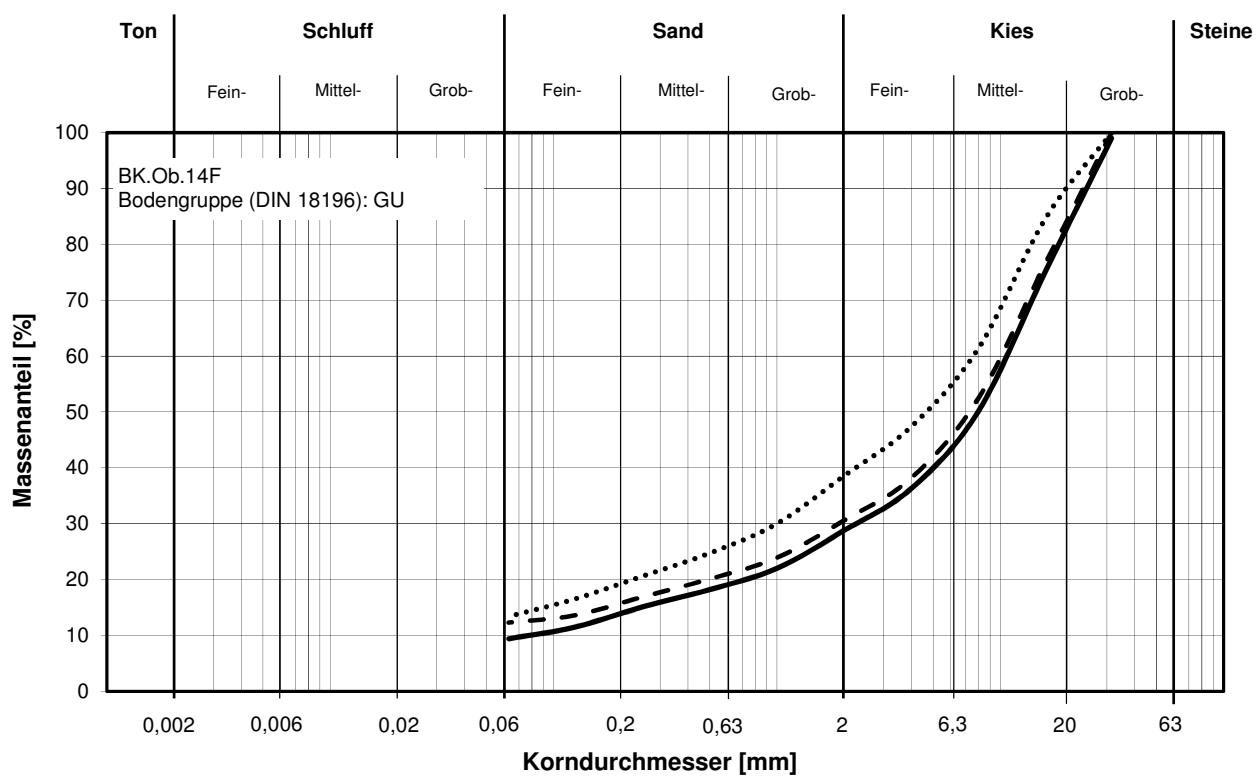
A1- 8: Korngrößenverteilung der Mischung BK.Si.14F



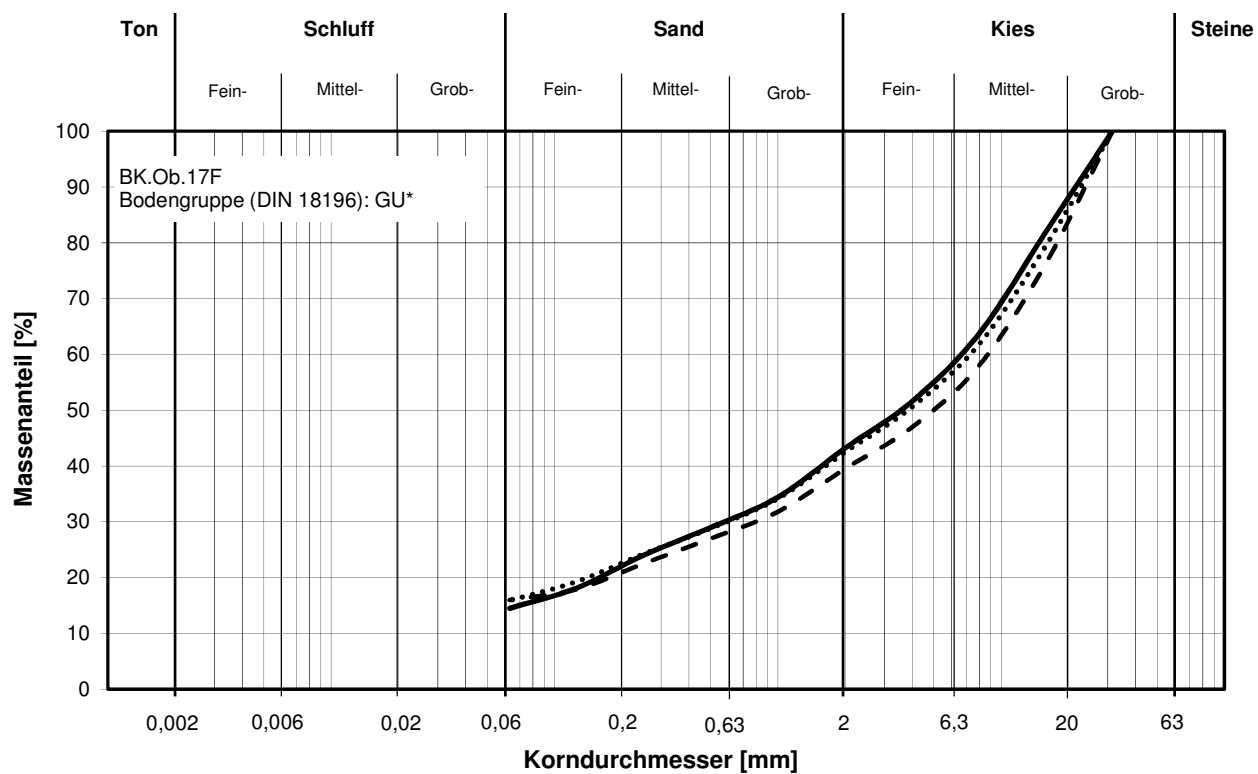
A1- 9: Korngrößenverteilung der Mischung BK.Si.17F



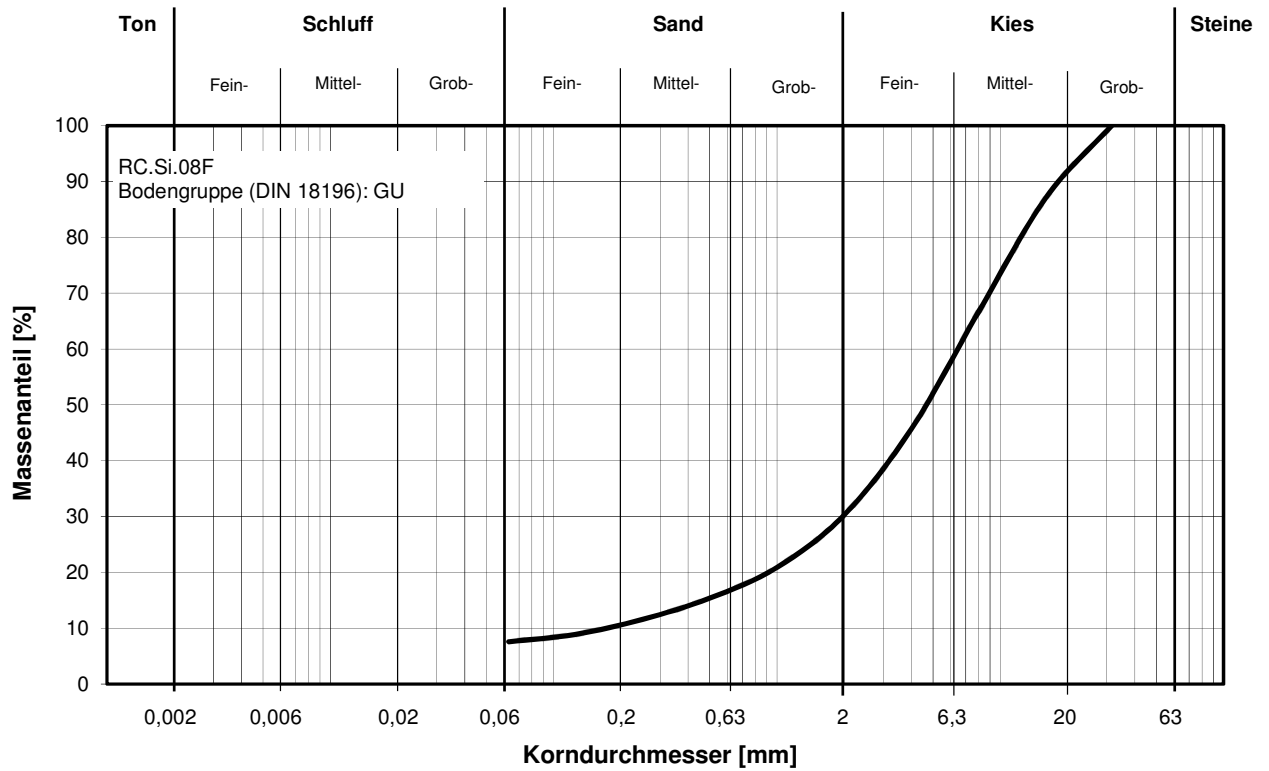
A1- 10: Korngrößenverteilung der Mischung BK.Ob.11F



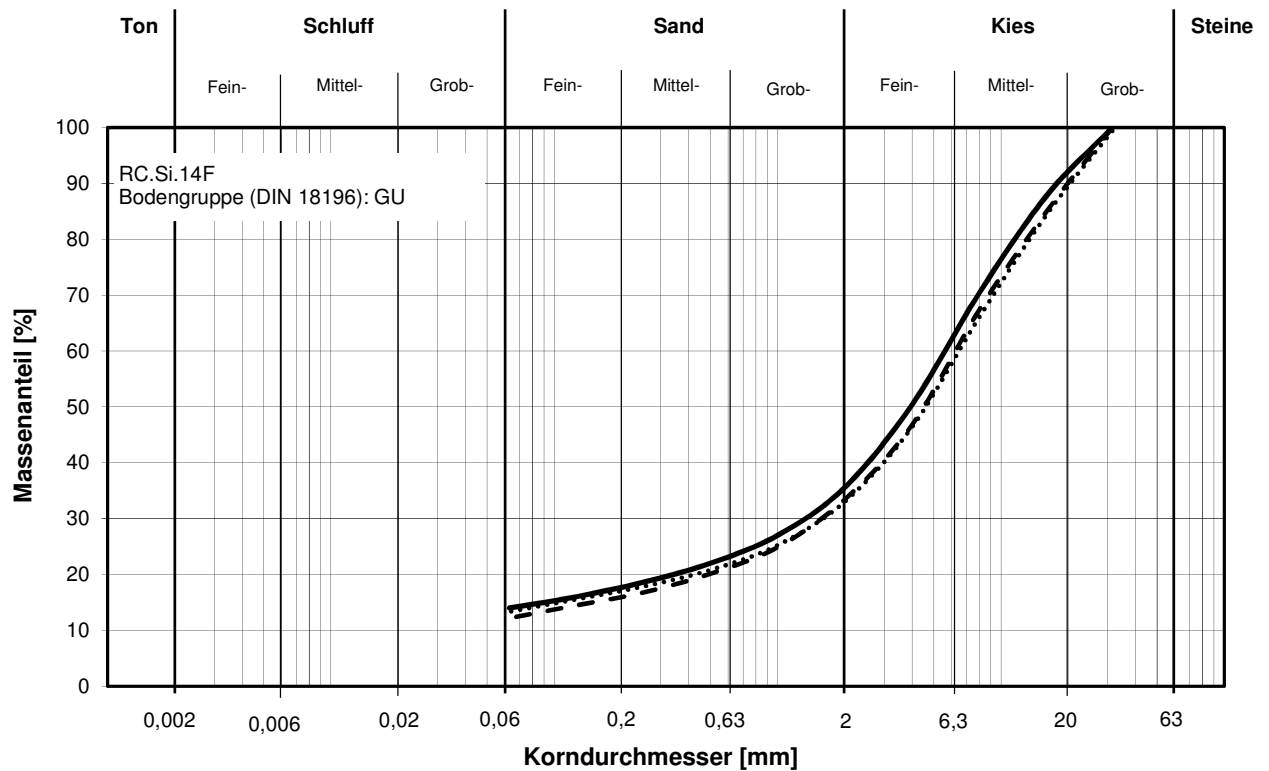
A1- 11: Korngrößenverteilung der Mischung BK.Ob.14F



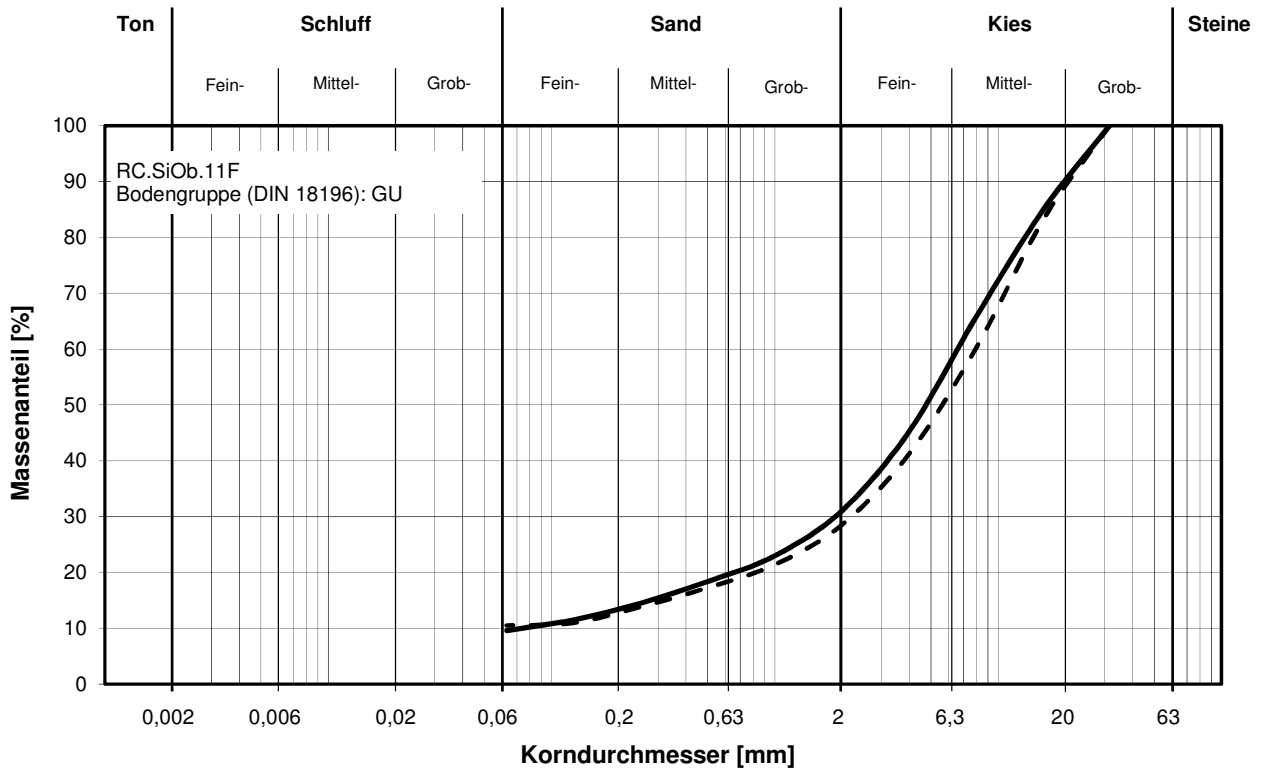
A1- 12: Korngrößenverteilung der Mischung BK.Ob.17F



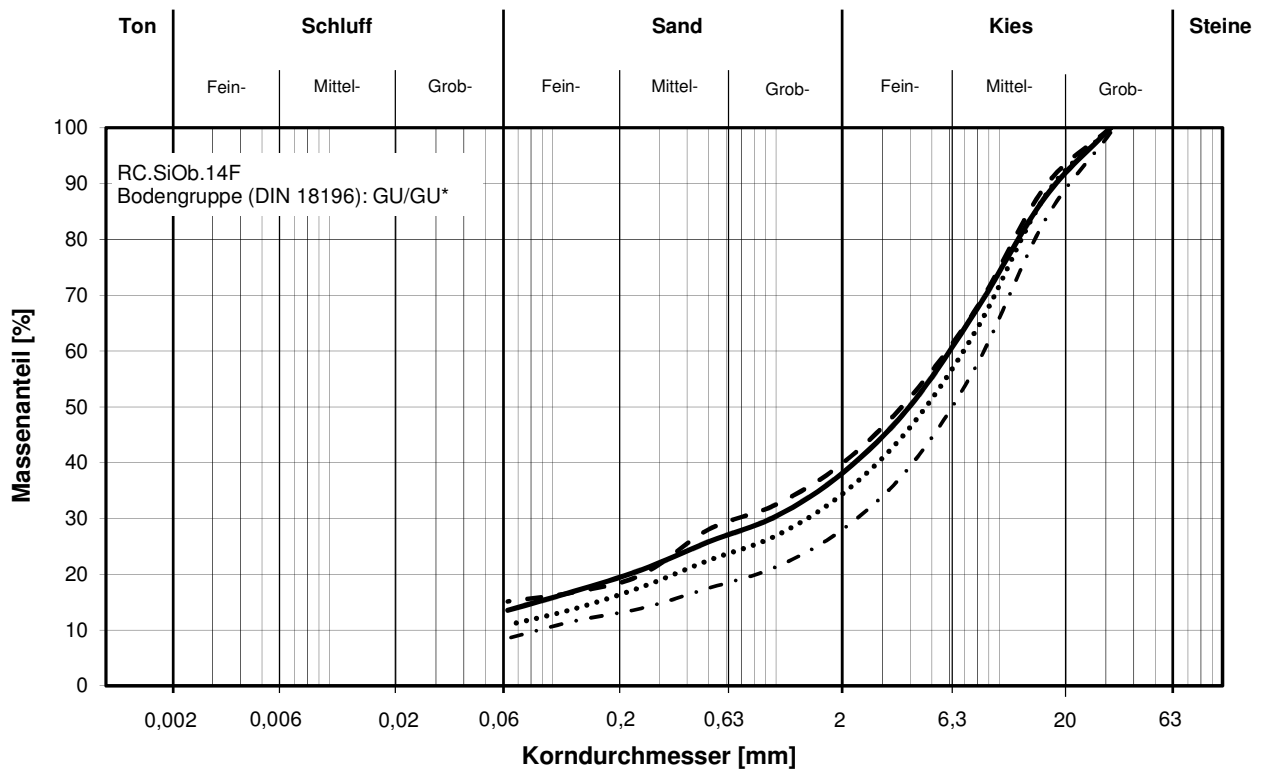
A1- 13: Korngrößenverteilung der Mischung RC.Si.08F



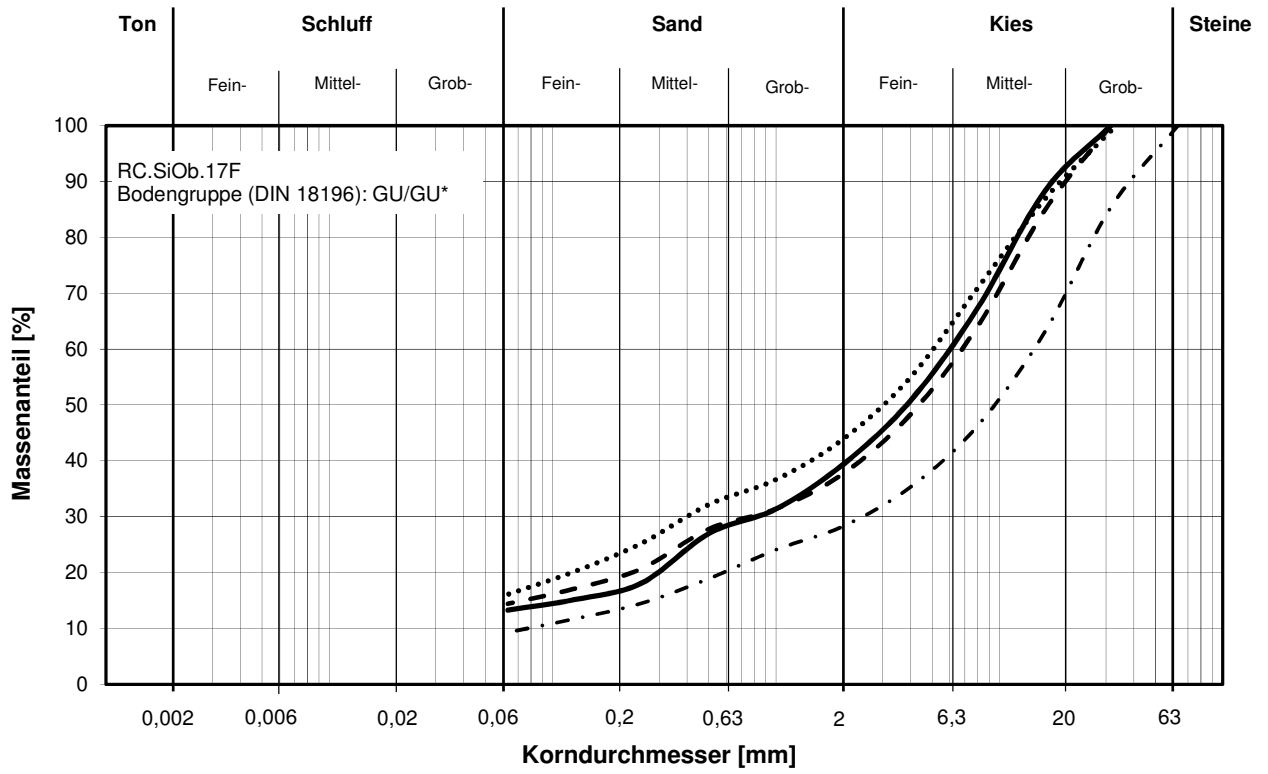
A1- 14: Korngrößenverteilung der Mischung RC.Si.14F



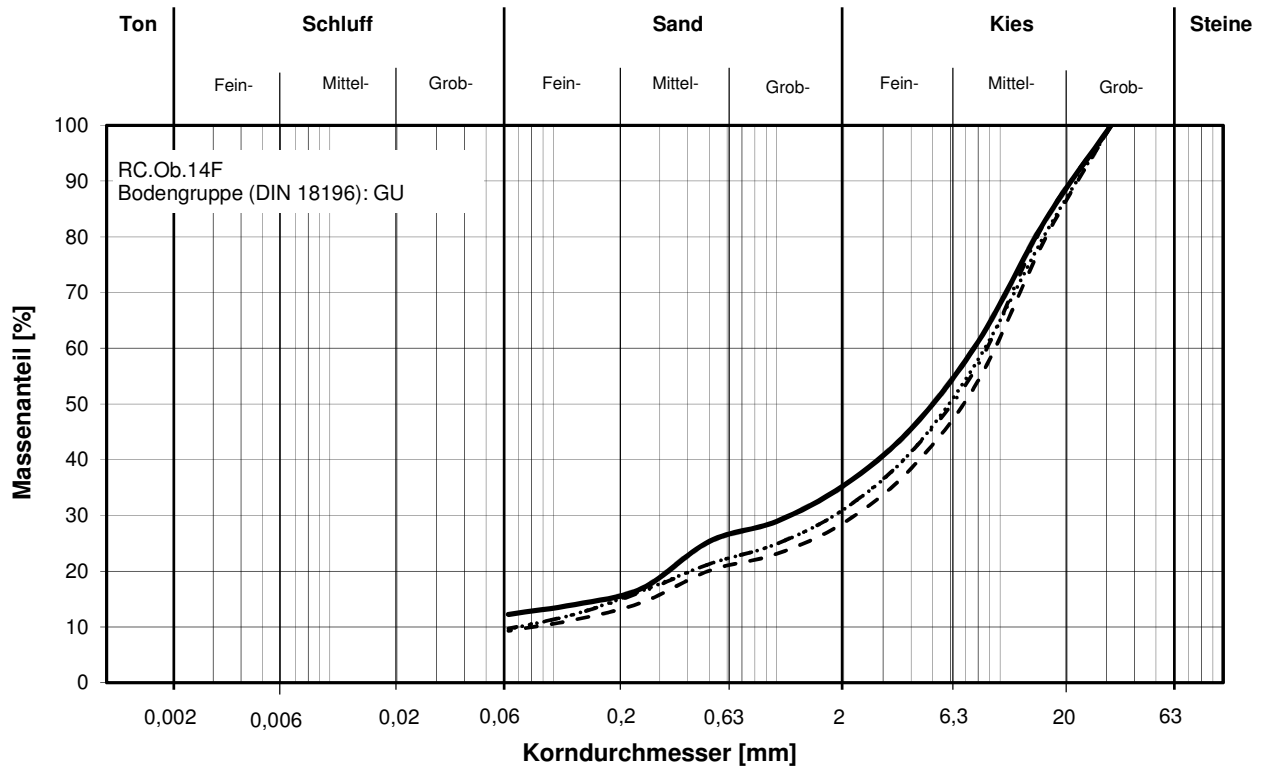
A1- 15: Korngrößenverteilung der Mischung RC.SiOb.11F



A1- 16: Korngrößenverteilung der Mischung RC.SiOb.14F

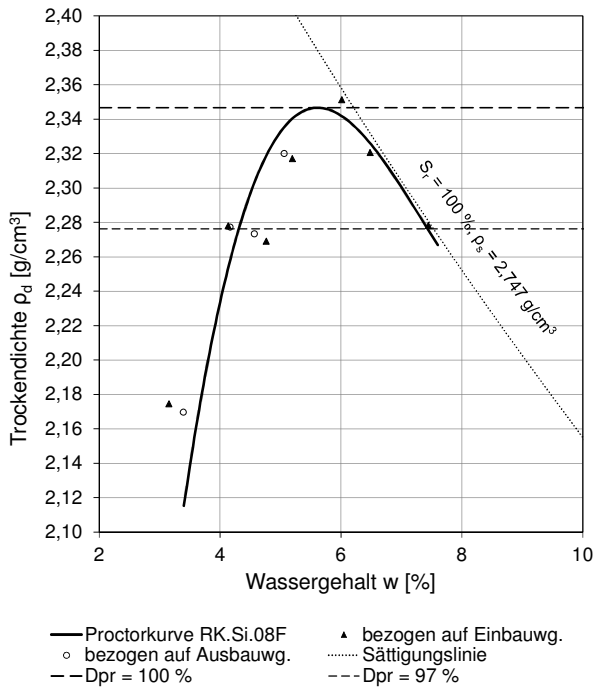


A1- 17: Korngrößenverteilung der Mischung RC.SiOb.17F

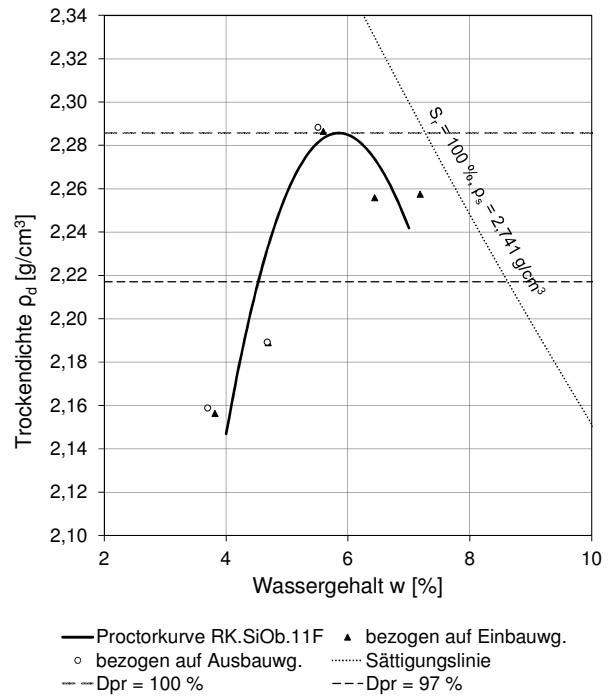


A1- 18: Korngrößenverteilung der Mischung RC.Ob.14F

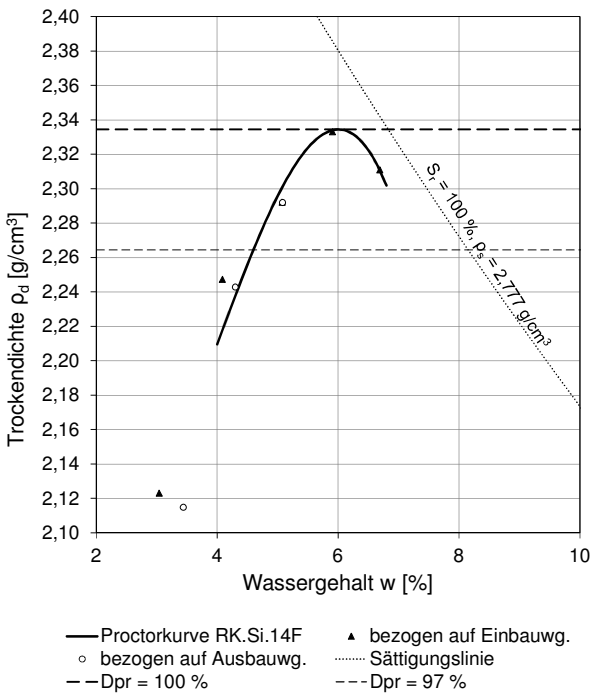
Anlage 2



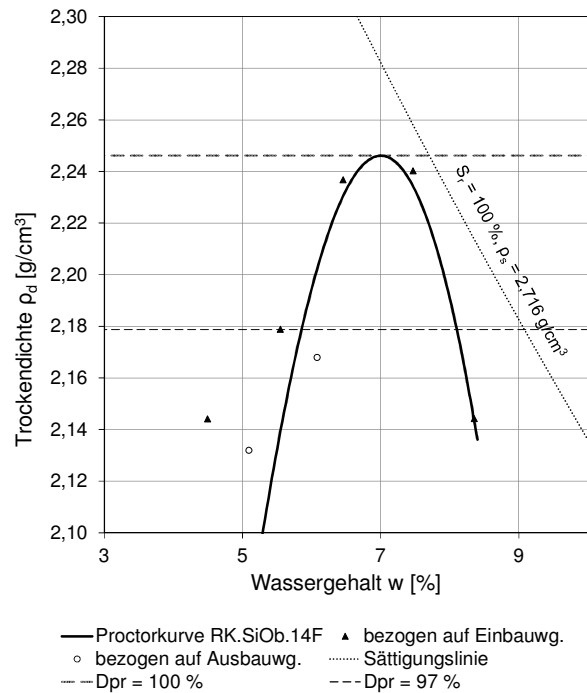
A2- 1: Proctorkurve der Mischung RK.Si.08F



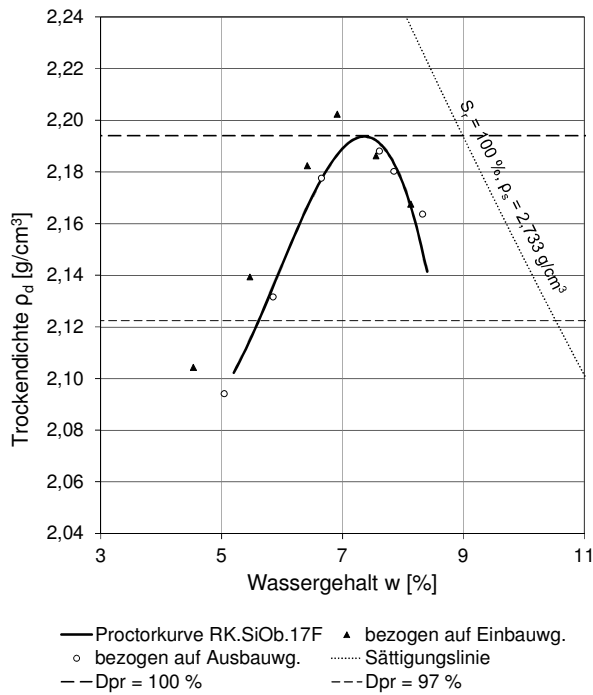
A2- 3: Proctorkurve der Mischung RK.SiOb.11F



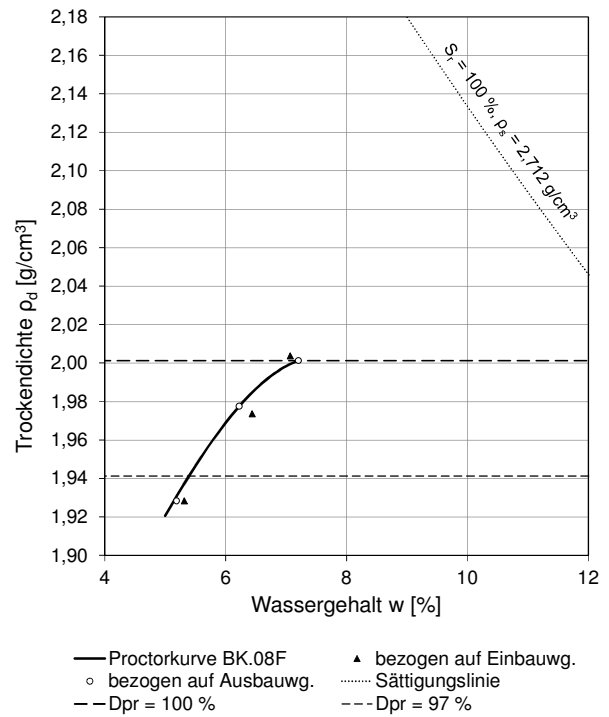
A2- 2: Proctorkurve der Mischung RK.Si.14F



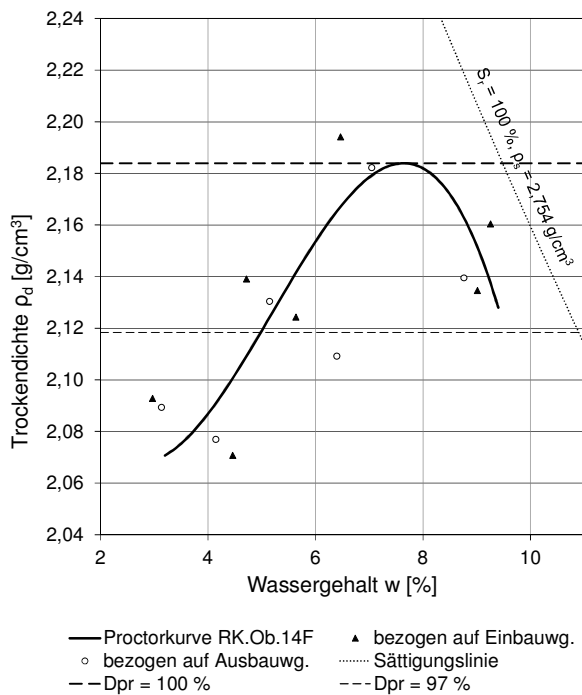
A2- 4: Proctorkurve der Mischung RK.SiOb.14F



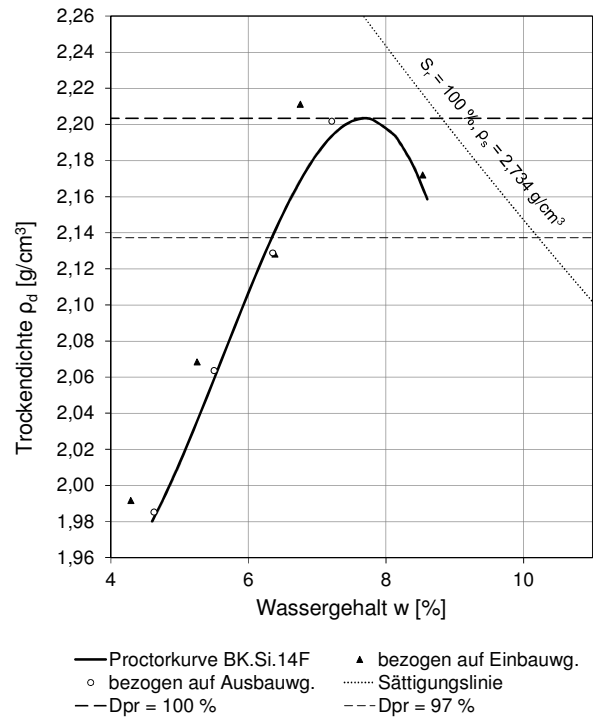
A2- 5: Proctorkurve der Mischung RK.SiOb.17F



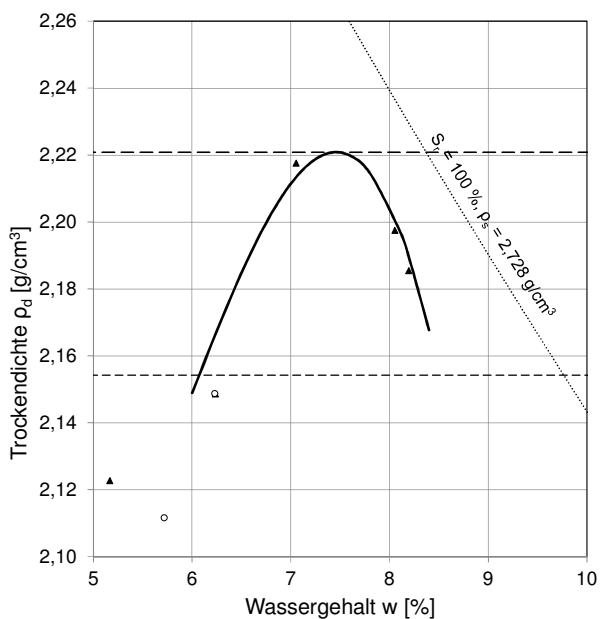
A2- 7: Proctorkurve des Materials BK.08F



A2- 6: Proctorkurve der Mischung RK.Ob.14F

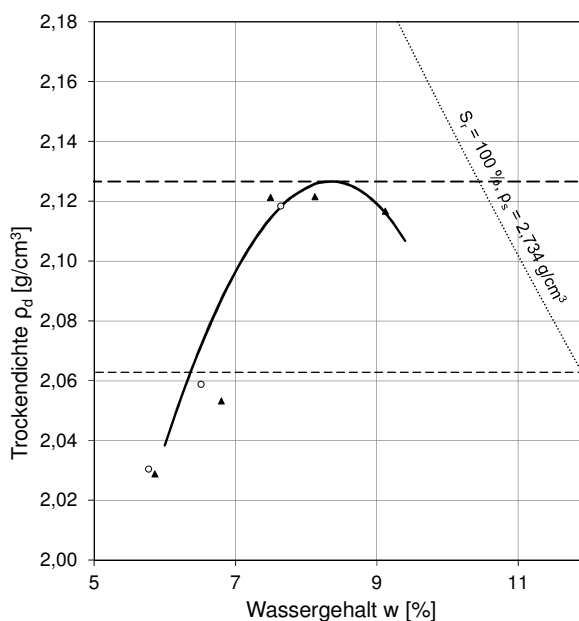


A2- 8: Proctorkurve der Mischung BK.Si.14F



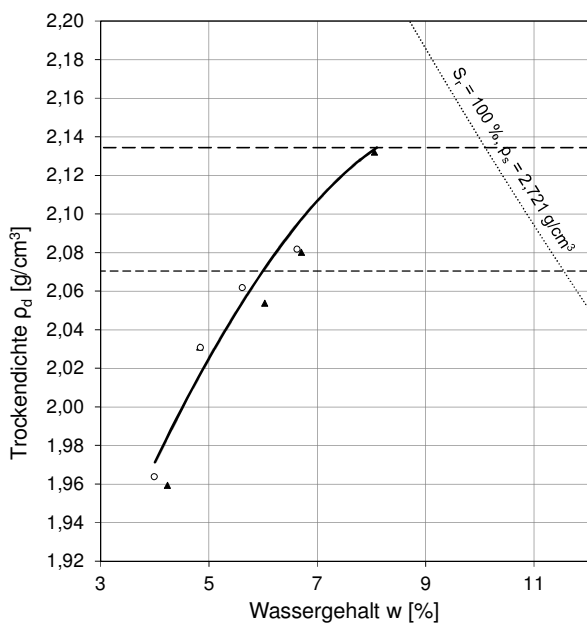
— Proctorkurve BK.Si.17F ▲ bezogen auf Einbau-g.
 ○ bezogen auf Ausbau-g. Sättigungslinie
 - - Dpr = 100 % - - - Dpr = 97 %

A2- 9: Proctorkurve der Mischung BK.Si.17F



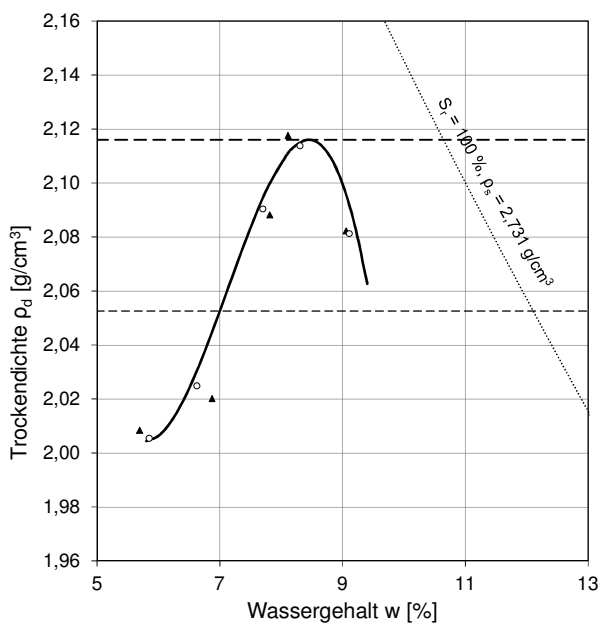
— Proctorkurve BK.Ob.14F ▲ bezogen auf Einbau-g.
 ○ bezogen auf Ausbau-g. Sättigungslinie
 - - Dpr = 100 % - - - Dpr = 97 %

A2- 11: Proctorkurve der Mischung BK.Ob.14F



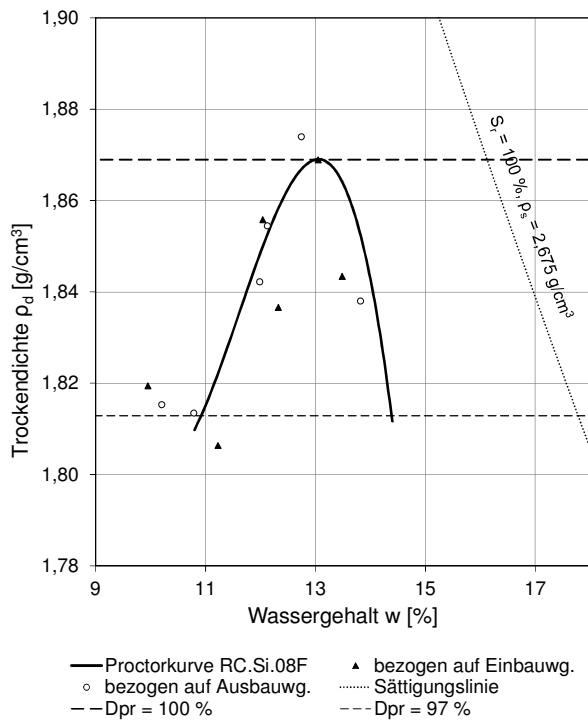
— Proctorkurve BK.Ob.11F ▲ bezogen auf Einbau-g.
 ○ bezogen auf Ausbau-g. Sättigungslinie
 - - Dpr = 100 % - - - Dpr = 97 %

A2- 10: Proctorkurve der Mischung BK.Ob.11F

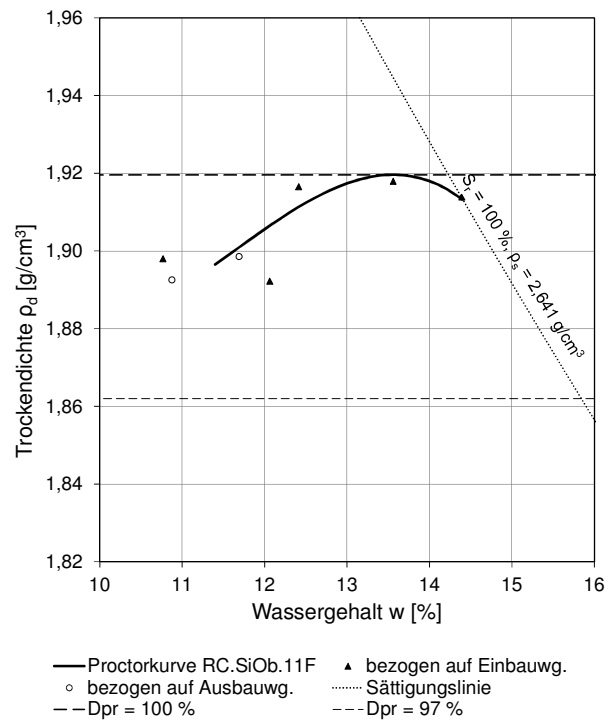


— Proctorkurve BK.Ob.17F ▲ bezogen auf Einbau-g.
 ○ bezogen auf Ausbau-g. Sättigungslinie
 - - Dpr = 100 % - - - Dpr = 97 %

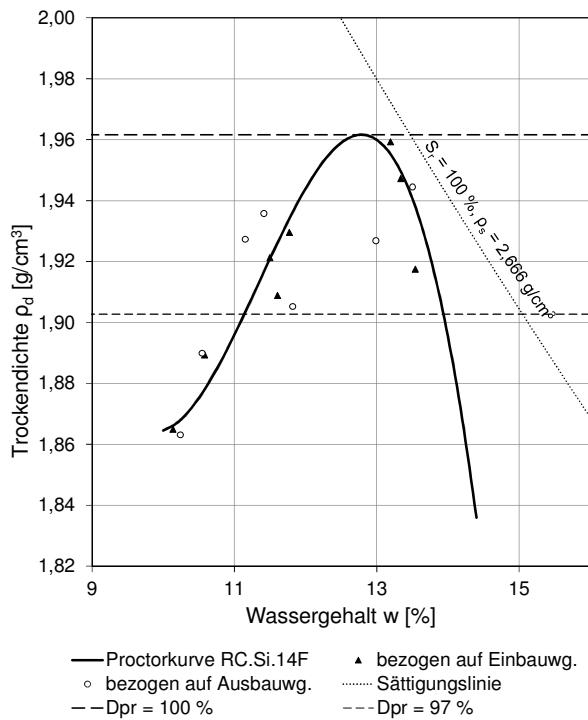
A2- 12: Proctorkurve der Mischung BK.Ob.17F



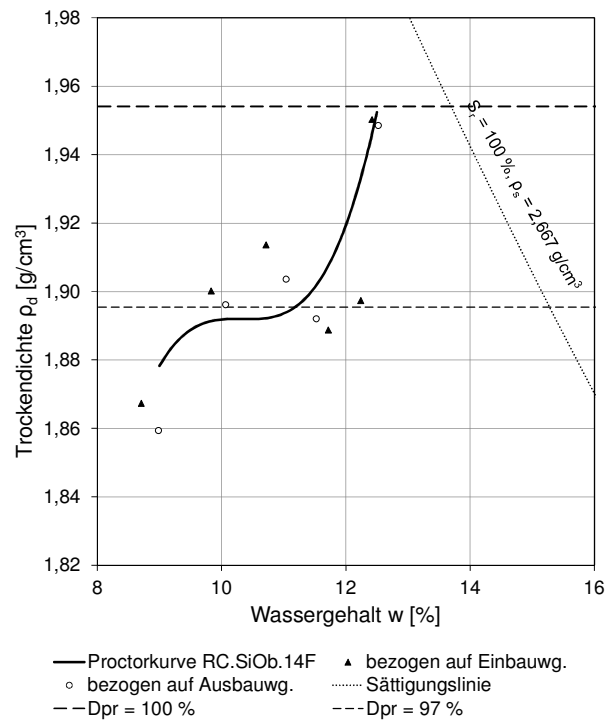
A2- 13: Proctorkurve der Mischung RC.Si.08F



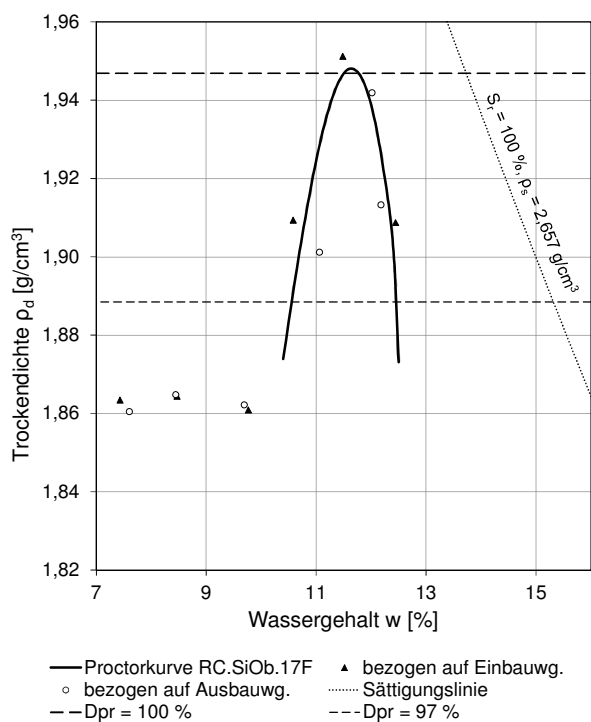
A2- 15: Proctorkurve der Mischung RC.SiOb.11F



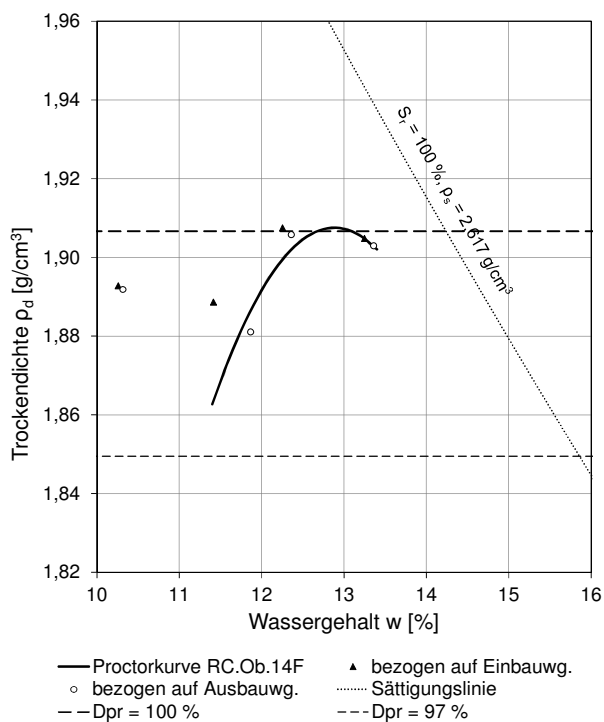
A2- 14: Proctorkurve der Mischung RC.Si.14F



A2- 16: Proctorkurve der Mischung RC.SiOb.14F



A2- 17: Proctorkurve der Mischung RC.SiOb.17F



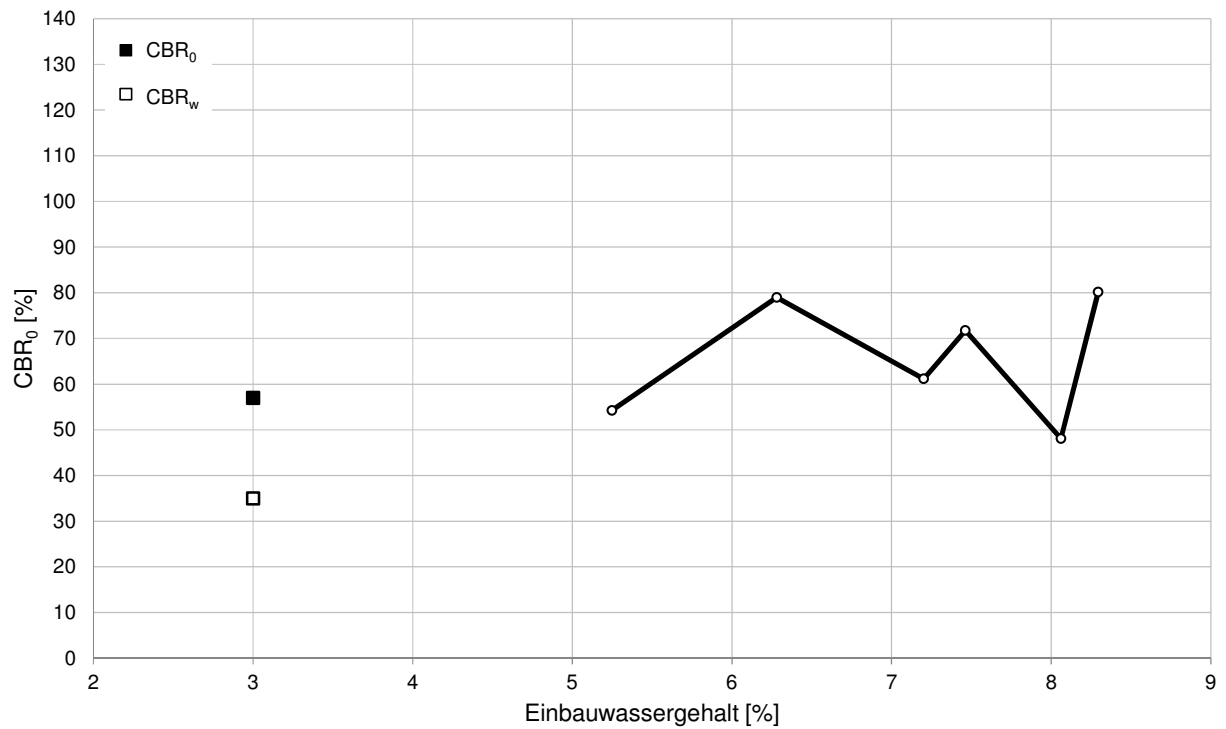
A2- 18: Proctorkurve der Mischung RC.Ob.14F

Anlage 3

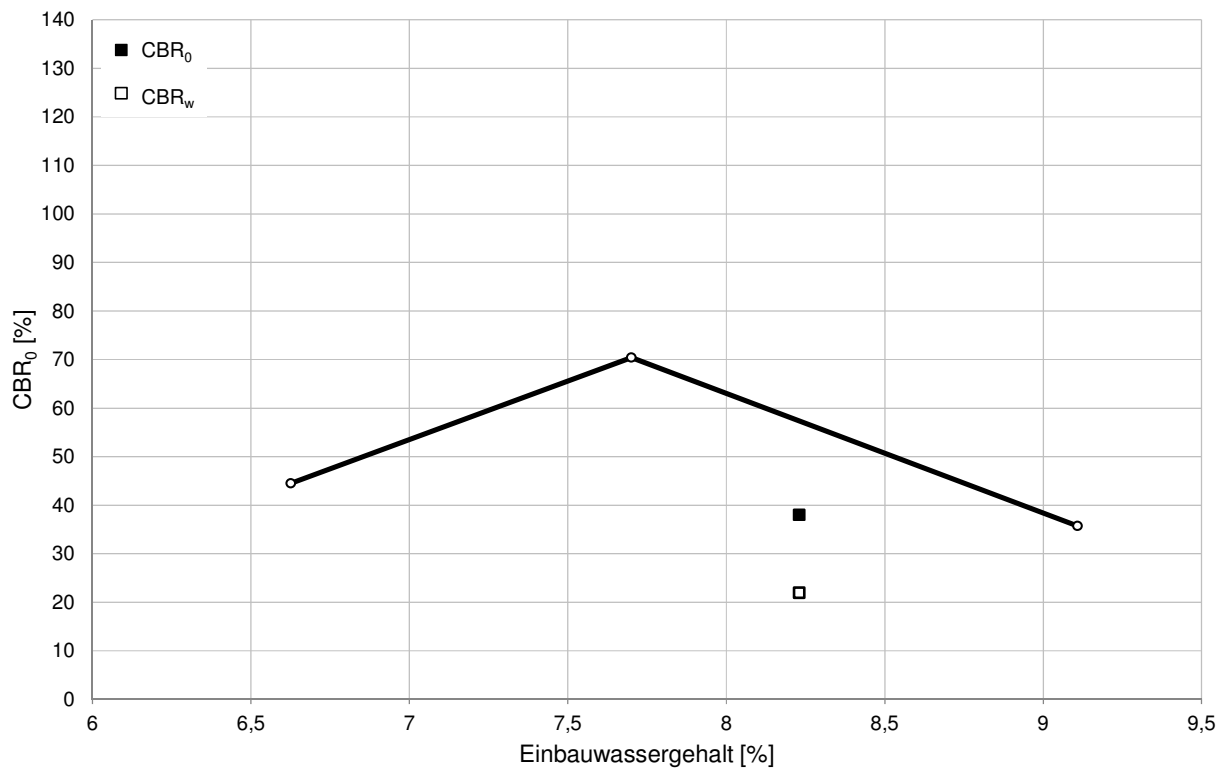
	Nach 2. Bewässerung			Nach 3. Bewässerung		
	E_{v2} [MN/m ²]	E_{vd} [MN/m ²]	S_r [%]	E_{v2} [MN/m ²]	E_{vd} [MN/m ²]	S_r [%]
BK.Ob.17F	23,9	21,6	78,1	25,2	17,3	84,5
	27,5	23,4		26,3	19,2	
		25,4			26,9	
RC.Ob.14F	92,3	39,13	88,9			
	98,6	43,44				
	113,7	47,67				
	115,4	48,91				
		51,49				
		52,94				

Tabelle 1: Ergebnisse der statischen und dynamischen Plattendruckversuche für die Versuchsmischungen BK.Ob.17F und RC.Ob.14F nach der 2. und 3. Bewässerung

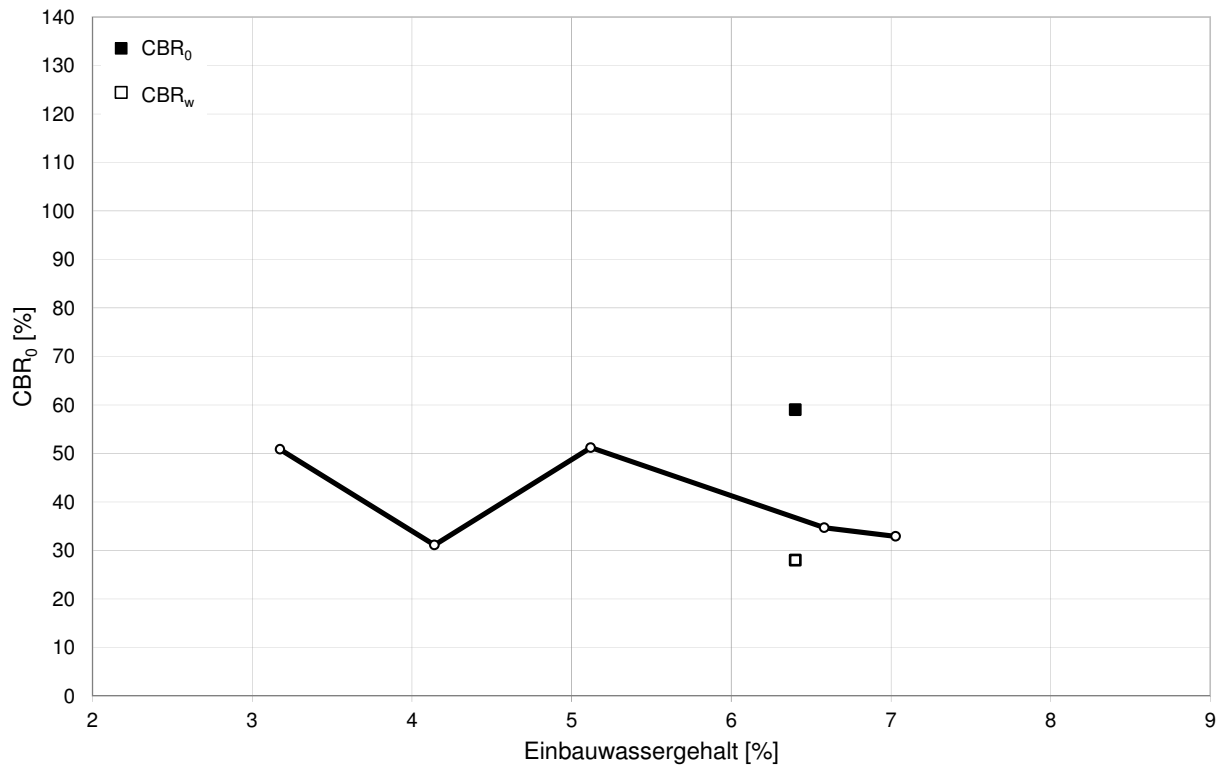
Anlage 4



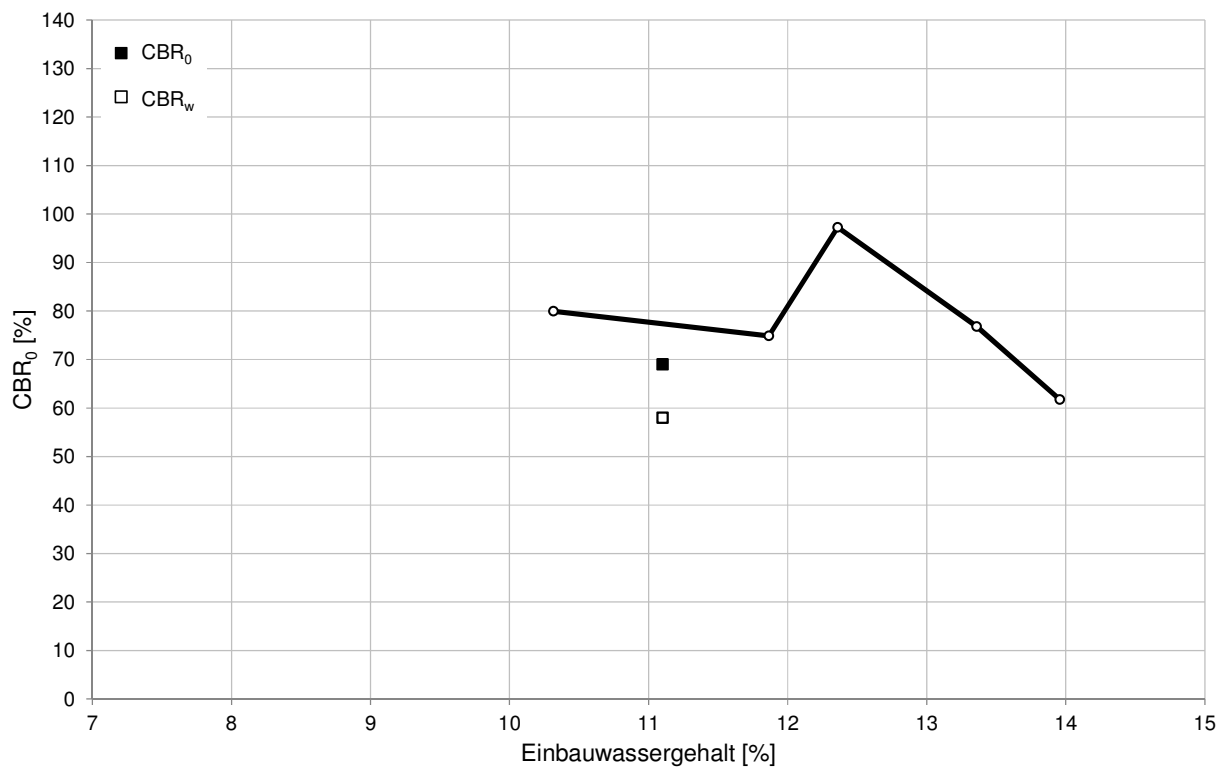
A4- 1: Ermittelte CBR-Werte für die Mischung BK.08F ohne und mit Wasserlagerung im Vergleich mit den Werten von der Labormischung



A4- 2: Ermittelte CBR-Werte für die Mischung BK.Ob.17F ohne und mit Wasserlagerung im Vergleich mit den Werten der Labormischung



A4- 3: Ermittelte CBR-Werte für die Mischung RK.Ob.14F ohne und mit Wasserlagerung im Vergleich mit den Werten der Labormischung



A4- 4: Ermittelte CBR-Werte für die Mischung RC.Ob.14F ohne und mit Wasserlagerung im Vergleich mit den Werten der Labormischung